

4/1/10

推力減少と伴流

別紙二

1. 序言
2. 船とプロペラの相互吸引力について
3. 運動量理論
4. 推力減少率
5. 有効伴流
6. 伴流プロペラ
7. 船殻効率
8. 造波伴流
9. 結論

1. 序言

船のプロペラの設計は現在主として実験的手法に頼つてゐるようであるが、この方法では現象を大局的に把握する事は出来ても、細かい点になると目が届きにくいため欠点がある。たゞ例えば空洞現象の発生等となるとどうしても理論を援用しなければならず、その他最適舵など他の設計にも理論は大きく出来ない手段である。

理論の最大の強味は細部の変化、例えば伴流の分布状況に応じて最適のピッチ分布を決める事が出来ると言う船のプロペラの最も重要な点にあると思われる。

計算様の発達によつて単独プロペラ理論は益々精緻化されることはかゝらず、このような試みの発表これに例は少いようである。

言うよてもなく、単独プロペラの理論を船後プロペラに適用する時の問題点は伴流と推力減弱である。

この点に関する諸家の研究は誠に汗牛充棟であつて細説の暇がないが、就中 Fvresenius¹⁾は物理的解釈を確立し、 Dickemann^{2) 3) 4)}はオーストリア戦後の解剖的研究の先駆者をつけぬと言えよう。さて最近継ぐて Pohl^{5) 6)}, Wald^{7) 8)}は従来の知見を補うに足る考察を發表したが、未だ抽象的は部分が多い。

本報において著者はそれをとして両者の考察の大要を紹介し又参考文献として Van Lameren, 山県の教科書^{9) 10)}記述に積み重ねられ、それが应用面でもう意味を考察する事にする。

2. 船とプロペラの相互吸引力について

船の後方プロペラが運動すると相互吸引力が働き船の抵抗はプロペラのない時に比して増大する。

今粘性がないとするとき、ダランベールの逆説によつて、物体は抵抗を持ちえないからこの増分はプロペラの増分と等しくなければならない。

しかしバッタ船の後方プロペラの出力マニホールド推力をもとにすれば船の抵抗増分に等しい部分は船が無い場合の有効推力である。

このような考察から粘性を無視して流れの速度不連続を求める事を求め、それから抵抗増加を計算して推力減率を求めよ

さて Dickmann^{3) 4)} には、うつてプロペラをその作用円板上の一様吸込み分布と見なし、その質量を ρ とおいておこう。

一方船の速度不テンシマール Ψ はミンチニル近似によればプロペラの影響を無視すれば、

$$\Psi(x, y, z) = \frac{V}{2\pi} \iint \frac{\partial \eta(x', z')}{\partial x'} \frac{dx' dz'}{r}, \quad (2.1)$$

但し V は速度、 r は船の半幅

$$r^2 = (x - x')^2 + (y - y')^2 + (z - z')^2,$$

積分面は船の縦中心面とその水面に関する鏡像の上にとるものとする。

(重力が無限に大きくなれば流れは水面に関して対称であると仮定する)

ラガリーヌの公式によれば船の抵抗増 ΔF_1 は (プロペラを点吸込みと近似して)

$$\Delta F_1 = \rho \frac{V}{2\pi} g \iint \frac{\partial \eta}{\partial x} \frac{\partial}{\partial x} \left(\frac{1}{r} \right) dx dz = \rho g V \frac{\partial \Psi}{\partial x} = \rho g V^2 w \quad (2.2)$$

但し

$$w = \frac{\partial \Psi}{\partial x} \quad | \text{ at propeller sink pt.} \quad (2.3)$$

となる¹¹⁾

- オプロペラの推力 T は同じ公式によつて、船のない時に

$$T = \rho g \left(V + \frac{u_i}{2} \right), \quad (2.4)$$

但し u_i はプロペラ後流中のスリップ速度となるから

$$t = \frac{\Delta F_1}{T} = \frac{w}{1 + \frac{u_i}{V}}, \quad (2.5)$$

となる t の式が得られる。

所で 船首がある時には (ス.4) 式右辺の $V + \frac{ui}{2}$ のかわりに $V(1-w) + \frac{ui}{2}$ を代入すればならぬようと思われる。さうすると明らかに T よりも ΔF_x だけ小さい推力が得られる事になるがこの時は船の影響によつて $1/(1-w)$ 倍だけ大きくなつるので推力はやはり (ス.4) 式で与える方がよい。又この事は後述のように運動量の考慮からも正しい事がわかる。

さてこの計算ではプロペラによる船体の等価吹出分布の変化が計算上含まれていはない。極端な場合として、船が静止して止つる時にプロペラをまわすと (ス.5) 式では $w = 0$ 即ち船上に力は働くかない事になるが、明らかにこれは矛盾である。

このようは部分は西山¹⁶⁾によればかなり大きいものであると言つ。しかし彼の計算したのは積円体であつて、船の場合よりはずつと比の効果が大きいと予想されるので普通はそんなに大きいものではなかろう。

さて此の部分は明らかに w の自乗に比例し、かつ w は誘導速度 ui に比例するから (ス.5) 式はヘルムボルトの言うよう (15) 20)

$$t = \frac{w V + ui f}{V + \frac{ui}{2}}, \quad \dots \quad (2.6)$$

のようになる事が出来るであらう。

従つて、特に $V=0$ 、即ち船が止つた時に船上働く力 ΔF_x を測定して推力を割れば

$$t = \frac{\Delta F_x}{T} \Big|_{V=0} = zf, \quad \dots \quad (2.7)$$

となるので実験的に求めることが出来る。Van Lammereen によればボーラード・テストによるこの量、測定値は 3~5% であると言つ。

(2.6) 式からこの部分による影響は ui が大きい時即ちプロペラの荷重度に關係する事がわかる。

最後にもう一つの問題は、フロペラはサイキレーションを持つだけではなく、僅かではあるが容積をもつスリヨウので船体スピヒ同じように遠方では二重吹出しで表わされるようす速度ボテンシャルを持つところ。

今それを

$$\mathcal{G}_P = \frac{\rho}{4\pi} \frac{\partial}{\partial x} \left(\frac{1}{P} \right), \quad \dots \quad (2.8)$$

$$m = \nabla \alpha A d (1-w), \quad \dots \quad (2.9)$$

但し $A = \frac{\pi}{4} D^2$, d はフロペラ軸に沿つて細い長翼の根本における長さとし、 w は質量 $\rho A d$ に対する附加質量を含めたフロペラの排水量の比とする。

どうするとこの二重吹出しに働く力はラガレーの公式によつて

$$\begin{aligned} \Delta F_3 &= \rho m \nabla \frac{\partial w}{\partial x}, \\ &= \rho V^2 \alpha A d \frac{\partial w}{\partial x} (1-w) \end{aligned} \quad \dots \quad (2.10)$$

今

$$\frac{dw}{dx} = \frac{w}{\beta D}, \quad \beta \gg 1, \quad \dots \quad (2.11)$$

とおき荷重度

$$C_T = \frac{T}{\frac{\rho}{2} A V^2}, \quad \dots \quad (2.12)$$

を導入すれば (2.5) 式から

$$\Delta F_1 = t T = -\frac{\rho}{2} A V^2 t C_T$$

であるから

$$\frac{\Delta F_3}{\Delta F_1} = \frac{2 \alpha d w (1-w)}{\beta D t C_T}$$

とおろが (2.5) を代入しれば近似的にな

$$\frac{\Delta F_3}{\Delta F_1} = \frac{2 \alpha d}{\beta D C_T} \quad \dots \quad (2.13)$$

とおろ。

今仮に $\beta = 4$, $\lambda = 0.5$, $d = 0.20$ とおけば

$$\frac{\Delta F_3}{\Delta F_1} = \frac{0.05}{C_T}, \quad \dots \quad (2-14)$$

となるので一般にはこの値よりずっと小さくなると予想される。

この部分は(2-10)によつて荷重度に無関係であるように見えるが、この点はなお検討の余地がある。リバースにしてからより小さい様なのでこれは無視してもよいようと思われる。(Van Lommelen は推力が負になつて時に力推力減りは正であるつより船の抵抗は増加する事と記してゐるが、今考へている力は推力が零になつて時の船の抵抗増加である。)

3. 運動量理論

後流および伴流中の速度が一様であるとして運動量理論を適用して見よう。

第一回におひて検査面 0, 1, 2 を設け、夫々無限前方からペラのある面、無限後方にあるものとする。

(a) はプロペラ单独、(b) は船のみ (c) は両者共にある場合である。

これらの場合の圧力速度は

検査面	a		b		c	
	速度	圧力	速度	圧力	速度	圧力
0	V	0	V	0	V	0
1	$V + \frac{u_i}{2}$	P	u_1	P_1	$u'_1 = u_1 + \frac{u_i}{2}$	P'_1
2	$V + u_i$	0	u_2	0	$u'_2 = u_2 + u_i$	0

のように重ね合わせが出来るものとし、又プロペラは伴流の中で作動するものとする。

さて (a) 図において後流中で検査面 1, 2 および 0, 1 の間でベルヌーイの定理が成立つとすればプロペラの前面と後面の間の圧力差つまり、推力 T は

$$T = PAu_i(V + \frac{u_i}{2}), \quad A = \frac{\pi}{4} D^2, \quad \dots \quad (3-1)$$

となる。

荷重度を C_T とすると

$$\left. \begin{aligned} C_T &= \frac{T}{\frac{\rho}{2} A V^2} = 2S \left(1 + \frac{S}{2} \right), \\ S &= \frac{U_2}{V} \end{aligned} \right\} \quad \dots \dots \quad (3 \cdot 2)$$

であるから逆に

$$S = \sqrt{1 + G} - 1, \quad \dots \dots \quad (3 \cdot 3)$$

(b) 図において Jones は検査面(1)と(2)の間にエネルギー損失が生じて抵抗を求める式を提案したが、このようすは仮定つまり、ベルヌーイの式が成立つべき事は(a)図のプロペラ後流の場合と同じであるから、この仮定は実際上は直線のように擴がる伴流を(a)図と同じように実線のようほ狭い部分に局限する事を意味している。

さて一様な伴流を仮定し、その検査面(1)における断面積を B とすれば(3・1)，に対応して次式がえられる。

$$R = \rho B (V - U_2) U_1, \quad \dots \dots \quad (3 \cdot 4)$$

さてベルヌーイの式を伴流中の 1, 2 面に適用して

$$\frac{U_2^2}{2} = \frac{P_1}{\rho} + \frac{U_1^2}{2}, \quad \dots \dots \quad (3 \cdot 5)$$

一方仮想的な速度 \tilde{U}_1 を考えて、

$$\frac{V^2}{2} = \frac{P_1}{\rho} + \frac{\tilde{U}_1^2}{2}, \quad \dots \dots \quad (3 \cdot 6)$$

これはつまり、検査団で粘性による圧力損失がないと仮定した時の速度である。¹⁴⁾

(3・6) 式から従来ボテンシナル伴流と呼ばれる量を導く事が出来る。¹⁵⁾

$$\frac{\tilde{U}_1}{V} = (1 - w_p) = \sqrt{1 - \frac{2P_1}{\rho V^2}}, \quad \dots \dots \quad (3 \cdot 7)$$

これをボテンシャル伴流 w_p の定義式とする。
一方伴流率 w は

$$\frac{u_1}{v} = (1-w) = (1-w_p)(1-w_f), \quad \dots \quad (3.8)$$

とおこう。

$$\text{従来は } w = w_p + w_f$$

とおいて w_f を摩擦伴流と呼んでいたけれど、後の便利の爲にこのように定義する。又 w が小さければ従来の定義が妥当等しい。

さて (3.5) (3.6) から P_1 を消去すれば

$$u_z^2 = v^2 - (\tilde{u}_1^2 - u_1^2)$$

$$\frac{u_z^2}{v^2} = 1 - \left\{ (1-w_p)^2 - (1-w)^2 \right\} = 1 - 2w_f(1-w_p)^2 \left(1 - \frac{w_f}{z} \right) \quad \dots \quad (3.9)$$

とおつて、 u_z は w_p と w_f で定まる事になる。

(3.4) 式に代入して、抵抗係数の形にする。

$$\frac{\frac{R_v}{2} A v^2}{\frac{1}{2} A v^2} = C_v = \frac{2B}{A} (1-w) \left\{ 1 - \sqrt{1 - 2w_f(1-w_p)^2 \left(1 - \frac{w_f}{z} \right)} \right\}, \quad \dots \quad (3.10)$$

である。但し R_v は粘性抵抗とする。

一般に w は 1 より小さいから近似的に

$$C_v \doteq \frac{2B}{A} w_f (1 - \frac{w_f}{z}) (1-w_p)^2, \quad \dots \quad (3.11)$$

$$w_f \doteq \frac{1}{3} \left\{ 1 - \sqrt{1 - \frac{3C_v A}{B(1-w_p)^2}} \right\} \doteq \frac{A C_v}{2B(1-w_p)^2}, \quad \dots \quad (3.12)$$

(これはケムフの考察に実質的に等しくなる 15) P.164)

次に (C) 図において有効推力 T_E は複査面におけるスリップは u_i であり流量は連続の式から $A u_i$ であるから

$$T_E = \rho A u_i \left(u_i + \frac{u_z^2}{2} \right), \quad \dots \quad (3.13)$$

二方プロペラの出しきり推力干渉、プロペラ後流の内側と外側でベルヌーイの式を立てて圧力差を求めて、

$$T = \rho A u_1 \left(u_2 + \frac{u^2}{2} \right) - \frac{\rho}{2} \left(\frac{u_2^2}{2} + \frac{u^2}{2} + (u_2)^2 + g V^2 \right) \quad (3 \cdot 14)$$

がえられる。係数の形では

$$\begin{aligned} C_{TE} &= 2's \left(\frac{u_2}{V} + \frac{u^2}{2} \right) \\ C_T &= s \left(\frac{u_2}{V} + \frac{s}{z} \right) \end{aligned} \quad (3 \cdot 15)$$

$$w_f = w_f (1 - wp) + (1 - wp)(1 - \frac{s}{z})^2$$

$$S = \frac{-u_1}{V} + \sqrt{\left(\frac{u_1}{V}\right)^2 + C_{TE}}$$

$$= \sqrt{\left(\frac{u_2}{V}\right)^2 + C_T} - \frac{u_2}{V}$$

4. 推力減率率 $\alpha = \frac{w_f (1 - wp)}{\frac{1}{2} \rho V^2 + \frac{g}{2} V^2} \quad (4 \cdot 1)$

Q. Wald は (3・13) & (3・14) から

$$t = \frac{T - T_E}{T} = \frac{u_2 - u_1}{u_2 + \frac{u_1}{z}} \quad (4 \cdot 1)$$

を導いた。 $t = wp \left\{ 1 + \frac{1}{1 - wp} - \frac{B(1 - wp)^2}{2A(1 - wp)} \right\} \quad (4 \cdot 2)$
さて自航時に付造波抵抗係数を C_w とし?

$$C_w + C_v = C_{TE} = (1 - t) C_T \quad (4 \cdot 2)$$

が成り立つれば好いが少々大(3・15)から近似的に

$$w_f = \frac{A(C_{TE} - C_w)}{2B(1 - wp)^2} = \frac{A(1 - t) C_T - C_w}{2B(1 - wp)^2} \quad (4 \cdot 3)$$

$$t = wp$$

$$-----(4 \cdot 3)$$

$$(4 \cdot 4)$$

すなはち関係式成り立つ。

一般に C_w は $0 < C_w < 1$ で、又 $0 < 1 - wp < 1$ のよ

さて U_1 に (3.16) を代入すると (4.1) は

$$\theta = \frac{U_2 - U_1}{\frac{U_2}{Z} + \frac{1}{Z} \sqrt{(U_2)^2 + GV^2}}$$

となりてすべて U_2 と U_1 で表わされる。
これにさらに素節で定義した伴流率を代入すると

$$\frac{U_2 - U_1}{V} = wp + wf - wf \left\{ wp + \left(1 - \frac{wf}{Z}\right) (1 - wp)^2 \right\}$$

$$\frac{U_2 + \sqrt{U_2^2 + GV^2}}{2V} = \frac{1}{Z} \left\{ 1 - wf \left(1 - \frac{wf}{Z}\right) (1 - wp)^2 \right\} \left\{ 1 + \sqrt{1 + \frac{V^2}{U_2^2} G} \right\}$$

であるから

$$\tau = \frac{wp(1+2wf) + \frac{wf^2}{Z}}{\frac{1}{Z} + \frac{1}{Z} \sqrt{1 + G \frac{V^2}{U_2^2}}} \quad \dots \quad (4.4)$$

さらに (4.3) を代入して C_w が 0 や 1 より小さいと仮定して上式の根号の中を展開すると、うんと近似的

$$\tau = wp \left\{ 1 + wf \left\{ Z - \frac{B}{2A} \left(\frac{1-wp}{1-wf} \right)^2 \right\} + \dots \right\} \dots \quad (4.5)$$

(4.4) 式において $wf = 0$ とおくと Dickmann の式 (2.5) に一致する。

又 (4.5) について考えれば大雑把にいって $wp = wf$ なので $A \geq B$ に従つて $\tau \leq wp$ となる。

$A = \frac{B}{Z}$ と云う事は摩擦伴流の半分がプロペラ円の中にある事を意味するから大体現実にはこれほど近い条件が成立つてゐるよう感じられるから、普通は

$$\tau = wp, \quad \dots \quad (4.6)$$

とおいても大きな違ひはない。

一般には C_w は 0 ではなく、又 G は 1 に近いのでこのよ

w_f が大きければ大きえ、 G が大きければ減ると言う事であつてしかも G と w_f は (4.3) で結びつけられてゐるので大体において (4.6) が成立つようない状況か出て来ると言つてある。

勿論 Van Lameren 等のように推力減を伴流と同じように $\frac{d}{2} V^2$ テンシャル流れに基づく部分と移動に基づく部分に別する考え方もあるが、そのように事を複雑にして見ても得られることはあまりないようと思われるのでもっと正確な知識を得られる迄の暫定的な作業仮説として採用する誤である。

5. 有効伴流

さて今まで考えて来たのと一脉の公称伴流の体積平均のようほものであるが、自航試験において測定されるものは有効伴流であつて一般には両者は一致しない。

Pohl の式 1 近似によれば公称伴流を $u_1(r)$ とし、誘導速度を無視すれば

$$\frac{dT}{\frac{f}{2} V^2} \propto \left\{ \frac{H}{D} - \frac{u_1}{nD} \right\} l(r) r dr \quad \dots \quad (5.1)$$

但し r は半径方向の座標、 H はビッチ、 $l(r)$ は翼幅とする。となるので、推力同等時の流入速度を u_1^* とすると

$$u_1^* \int_0^r l(r) r dr = \int_0^r u_1(r) l(r) r dr \quad \dots \quad (5.2)$$

であると言つ。(13)

彼はさらに誘導速度を考慮した式を近似を計算して実験値にかなりよく合うと言つてゐる。

一般には彼の計算によれば有効伴流は荷重度が増えると小さくなり、又トルク同時のそれはスラスト同時のそれより小さい。

しかし Van Lameren によれば推力同等時の有効伴流は公称伴流の体積平均に略々等しく、又トルク同時の有効伴流は推力同等時のそれより僅かに小さくと言つ。

Pohl の数値計算には大分疑点があるのでは、荷重度が大きければ有効伴流が減る点を除けばこの従来の見解の方がその実験値に適合するようと思われる。(10)(12)

さてこの理論では u_1 がプロペラ面で一様な時は差がほんの少いが、Wald によればこのように時でも有効伴流は公称

伴流と異なると言う。⁽³⁾

今同じ推力をもつ単独試験時のプロペラの前進速度を u_1^*
ヒレとの時の誘導速度を u_i^* とする

$$T = \rho A u_i^* (u_1^* + \frac{u_i^*}{z}), \quad \dots \quad (5.3)$$

一方船後プロペラの推力は (3.14) で与えられるから両者
を等しいとおくと

$$u_i^* (u_1^* + \frac{u_i^*}{z}) = u_i (u_1 + \frac{u_i}{z}), \quad \dots \quad (5.4)$$

又プロペラの軸方向流入速度が等しければプロペラの出す
推力は等しいと考えざるを得ない (Pohlも同じ考え方)

$$u_1^* + \frac{u_i^*}{z} = u_1 + \frac{u_i}{z}, \quad \dots \quad (5.5)$$

(5.4) を辺代入して (4.1) を利用すると

$$u_i^* = u_i \frac{u_2 + \frac{u_i}{z}}{u_1 + \frac{u_i}{z}} = \frac{u_i}{1-t}, \quad \dots \quad (5.6)$$

すなわち、船後プロペラ軸方向誘導速度は、同じ推力を出す
単独プロペラのそれの $(1-t)$ 倍になっている。

(5.6) を (5.5) に代入して

$$\left. \begin{aligned} u_1 &= (1-w)v \\ u_1^* &= (1-w^*)v \end{aligned} \right\} \quad \dots \quad (5.7)$$

とおくと

$$1-w^* = 1-w + \frac{w}{2v} \left(1 - \frac{1}{1-t}\right),$$

$$w^* = w + \frac{ts}{2(1-t)}, \quad \dots \quad (5.8)$$

Sは (3.16) で与えられる。

これは Wald の与え式と同じものである。

この式によれば $S=0$ の時 $w=w^*$ となる。

一方 $S=0$ の極限では (5.2) 式によつてプロペラ翼の幾何形状によって有効伴流と公称伴流は異なる。Pohl は半径を相似として誘導速度を計算に入れてプロペラの荷重度の影響を求めていみたが傾向は (5.8) と逆で荷重度がふえると w は小さくなつて w^* となる。しかし彼は Wald と同じように誘導速度を運動量理論によつて有効推力から計算していみにもちかづきこれをプロペラ推力と見なして計算を進めていみ。従つて Pohl の計算には (5.8) 右辺第 2 項のような項を加味して考えなければならぬ。

さう云ふ観で結局公称伴流は誘導速度が単独時によりも大きくなるに (5.8) のように荷重度が大きくなると大きくなり半径方向の翼幅分布つまり推力、トルク分布状態が伴流の急に単独時に比して大きく変る爲に普通は小さくなる傾向があるようである。

このように二つの原因が互に打ち消し合う方向なので、場合によつては他の要因も加わって、場合に応じて傾向も異なる事になるのであろう。

例ええば Pohl の著書文¹²⁾ ～4 回と著書文¹⁰⁾ 45～49 回を見較べると推力同等時の有効伴流は大体同じ傾向にあると言えはいい事もなゝがトルク同等時のそれは全く逆で (5.8) 式の傾向である。

最後に推進器効率比 η_r を 1 と仮定することは船後に於けるプロペラと推力とトルクの比は等しいと仮定する事と同一であるからこの時は Wald の考えはトルク同等時の有効伴流を求める事と同じにするので上述の Pohl 著書の (5.8) 式の一つの例証と見てもよいのかもし知れぬ。

Van Lommelen は推進器効率比 η_r が 1 と異なる理由を説明する爲に半径方向の推力分布が船の後では単独時に異なる事を指摘しているが Pohl の理説はトルク分布をも考えて單純化して有効伴流を計算出来たらしいものである。

従つて翼理説を利用して船後ににおける誘導速度の変化を考慮に入れて推力、トルク、効率を考えれば、伴流の周方向の不均一、いわゆる非定常影響を除いて、有効伴流推進器効率比の問題は解決の糸口が出て来るのであろう。

山県は同じような考え方の上で実際につつプロペラの半径方向の推力分布だけを考慮すれば公称伴流から有効伴流が計算によって求められる事を実例によつて示している。^{15) p.177}

6. 伴流プロペラ

さて (5・6) 式によつて船後プロペラの誘導速度は推力が同じである単振プロペラのそれの (1-1) 倍である。

従来の伴流プロペラの理論では、この点につれての指道がなく、単振プロペラの誘導速度を乗つてみると見えてくる。荷重が小さい時には此の差は僅かであるが、荷重が大きい時は、従来の理論では翼素の水流に対する傾角は安全よりも小さく見積られてゐる事にはなるのと同じ推力を出す為の回転数は小さくなり、結果的にはピッチを減らさなければならぬといふ事になる。これは田村の得た経験に一致するので確からしく思われる。⁽¹⁷⁾

又無限後方に対する端面のピッチは $(u_2 + u_i)$ となる事にける。

しかし翼面の誘導速度に関する差を除けば従来的には従来の理論と異ならず、例えば伴流プロペラの最適条件は Van Manen の説によつて半径 r の翼素効率 $\eta_i(r)$ とすれば(第2回)

$$\frac{u_1 dT}{w r dF} = \eta_i(r) = \frac{\tan \beta}{\tan \beta_i} = C / \eta'_h(r), \quad \dots \quad (6 \cdot 1)$$

$$\eta'_h(r) = \frac{1 - t'(r)}{1 - w'(r)}, \quad \dots \quad (6 \cdot 2)$$

η'_h は局所的船殻効率であるから此の条件は各翼素の推進効率を一定にする事を意味してあり、全く当然の事と思われる。

常数 C は明らかに全体の推進効率を表める。
推進効率比を 1 と仮定し、 η_p をプロペラ効率とすれば

$$C = \eta = \eta_p \cdot \eta_h \quad \left. \begin{array}{l} \\ \eta_h = \frac{1 - t}{1 - w^*} \end{array} \right\} \quad \dots \quad (6 \cdot 3)$$

t は全体の推力減率 w^* は全節で考えよう有効伴流率である。

そのようにして従来の理論はすべく適合するが誘導速度は有効推力に対するものと用ひなければならぬ」という事である。

最後に推進器効率比 η_r について Van Lammereen, Pahl Wald の理論によれば誘導速度が違つてゐるのであるから伴流の周方向の不均一がなくても / と異なる事には事には明らかである。

従つて局所的効率 $\eta'_r(r)$ を考へれば (6.1) の通りに

$$\eta_i(r) \eta'_h(r) \eta'_r(r) = \text{Const.} \quad \dots \dots \quad (6.4)$$

のようになるべきかも知れまい。

Van Manen は (6.1) によって計算をする際に w' について実験式を用ひてゐるが、 w については既に説明したのでここでは検討しないが、今後の研究が望ましい点である。

7. 船殻効率

簡単の爲に (4.6) を仮定すると、 w_p は (3.7) で測定値から計算されるもので前輪半径方向に変化するものである。さて (3.8) の定義式を (6.2) に代入すると

$$\eta'_h = \frac{1-t'}{1-w} = \frac{1}{(1-w_f)} \quad \dots \dots \quad (7.1)$$

となる。

詳細な計算や将来の事を虑て (7.1) を全體の船殻効率につけても成立つものとする非常興味ある結果が得られる。 w_f は (3.12) によつて与えられるが (4.6) を仮定すると

$$w_f = \frac{1}{3} \left\{ 1 - \sqrt{1 - \frac{3A CV}{B(1-t)^3}} \right\} \quad \dots \dots \quad (7.2)$$

今 SR41 のタンカー一様型 M. 1341 の満載状態を例にとってフルード数 0.16 で剥離係数は 0.0055、この時の摩擦抵抗は 0.0201 と見られるので

係数

$$CV = 0.0256 \times 34.0 = 0.861$$

又の時

$$\eta_h = \frac{1-t}{1-w^f} = \frac{1-0.205}{1-0.425} = \frac{0.795}{0.575} = \frac{1}{0.725} = \frac{1}{1-w^f}$$

であるから

$$w^f = 0.275,$$

これらの値を (7.10) に代入して B/A を求めると

$$B/A = 4.6$$

と打って大体正確な値を得る。

よって $t = w^f$ はその導入の過程から天度影響下僅かでない方と考えられるので、(7.2) に代入すると

$$w^f = \frac{1}{3} \left\{ 1 - \sqrt{1 - CV \times \frac{3}{0.502 \times 4.6}} \right\}$$

となる。 CV (粘性抵抗) は実船では小さくなる。

模型の長さは $6m$ の実船 36.67 分の $1/6$ の方と云ふので実船に対する粘性抵抗は全抵抗が平板摩擦抵抗係数に比例するとする

$$CV = 0.861 \times \frac{1.476}{3.183} = 0.399$$

この値を上式に入れる

$$w^f = \frac{1}{3} (1 - 0.694) = 0.102$$

従つて、実船の効率は

$$\eta_h = \frac{1}{1 - 0.102}$$

よつて

$$\frac{\eta_h(\text{模型})}{\eta_h(\text{実船})} = \frac{(1-w)}{(1-w)(\text{模型})} = \frac{0.898}{0.725} = 1.239 = \frac{1}{0.807}$$

とある。

実船のレインルス数は 1.35×10^9 である。SR 41 の報告書の最後の頁の圖から見れば実船試験結果の丁度其中近に来てよく適合する事がわかる。

上式の第 2 項を省略すれば correlation factor.

$$e_i = \frac{1 - w_m}{1 - w_s}$$

とよんで¹⁹⁾、大体において以上と同様船舶減速を算してある。¹⁾ (suffix m は模型、s は実船である)
実際 $t = wp$ これが天度影響を受けることすれば

$$e_i = \frac{1 - w_{fm}}{1 - w_{fs}}$$

以下から彼の推論と略は同様である。

さうに近似するならば (3.12) を使って

$$\frac{n_{hs}}{n_{hm}} = e_i = \frac{1 - w_{fm}}{1 - w_{fs}} = \frac{1 - \frac{A C_{Vm}}{ZB (1-t)^3}}{1 - \frac{A C_{Vs}}{ZB (1-t)^3}}$$

$$= 1 - \frac{A}{ZB (1-t)^3} \{ C_{Vm} - C_{Vs} \}$$

$$= 1 - \frac{A C_{Vm}}{ZB (1-t)^3} \left(1 - \frac{C_{Vs}}{C_{Vm}} \right)$$

のようにならざる。

ここで C_V は粘性抵抗のすべりを意味するものとし又 SR 41 程度のタンカーは $B/A = 4.6$ である。

この式から船速効率を増すためによく知られているように出来るべく摩擦伴流をプロペラ面に吸込む事が必要である。この式は種々の仮定の下に出来たのであるからどの程度実用的であるか不明である。

しかし例で見たようにかなりの信頼性があるし、又 e_i なる係数と粘性係数が直接結びついてゐるので、例えば満載半載状態に対するそれを異なった e_i を使うべきであると言う事になり、天度影響の問題に対する一つの指針を得る

事が出来る。

8. 造波伴流

以上の所論では造波伴流は WP の中に含まれてゐる。
元来 造波現象は不テンシマルを持つ運動であるので WP から
それを分離して測定する事は出来ない。

フロペラ自体が作る波は普通小さなもので助走と考え方
るのでそれ自体の造波抵抗問題に立ち入れば、船の波
と干渉する球状船首の場合のようにかなり大きな変化を生
ずるのも知れぬ。

しかし現在の造波抵抗理論では船尾の造波残構はよくわか
つてないのとこの効果を調べる事は容易ではない。
(造波伴流によつて粘性伴流同様推進効率が良くなりうると
言つれてゐるが、この事を示すのは容易ではない)

例えば西山の没水体同軸体の計算ではフロペラによつて、
一樣に造波抵抗が増大して、多少くである。

しかし原理的に従来考へは首肯出来さうに思える。
すなはちフロペラとの干渉によつて造波抵抗は増減するが、
大體的には干渉による波の高さにフロペラがかかる時はフロペラから出
る波が谷から始まるので干渉によつて抵抗は減る可能性がある
と言えよう。しかし伴流と抵抗増加を他の場合のように簡単に繋げ
つける事は出来ない。

これを今の理論に組み入れるには、船の抵抗又はレインフロ
ペラのついた時の抵抗をとればよい。

この抵抗の半分をと考へられるのは造波抵抗であるから
有航試験時にこれを直接測定する等の方法によつて新しい方
向が開けるであらう。

9 結言

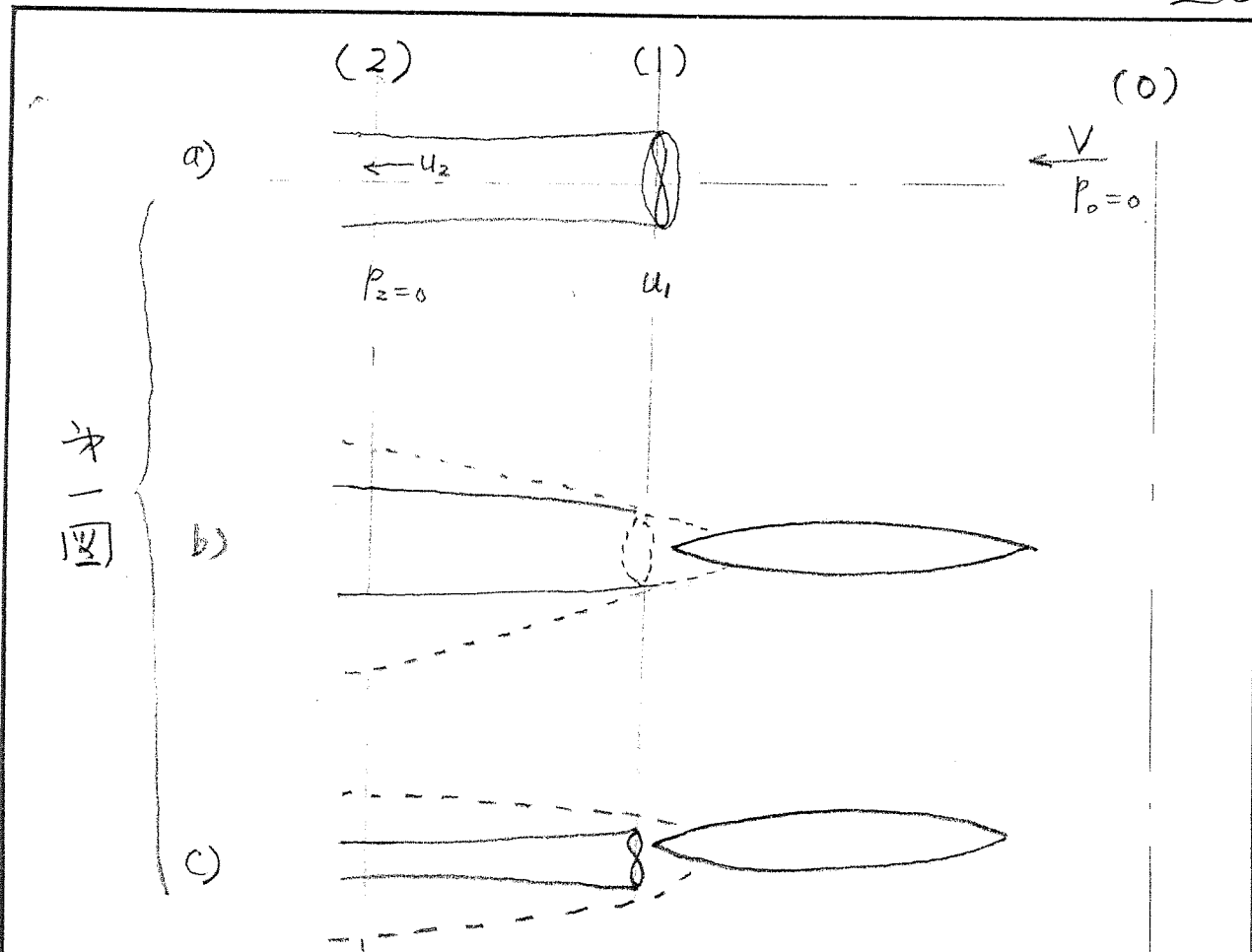
以上をまとめると次のようす事になる。

- i) 推力減少には三つの成分、伴流による部分 フローベラの影響により船体の荷重点分布が変るための部分、フローベラの推力面であると同時に水を排除する運動をする為に起る部分、(i) わけの事が出来る。この内オーナーの部分は従来から数学的に研究されており、オーナーの部分は推力が零の時の船の抵抗増加として測る事が出来る。
- ii) Malal の理論式に、従来の不テニシャル伴流を代入すると興味ある結果が立ちゆる。
 - a) 推力減少率は近似的に (4.4) 式であたえられ、不明の要素を除くと現在の所 (4.6) つまり不テニシャル伴流に等しいと仮定しても大きな間違はないだろう。
 - b) 乙の仮定を入れると、船殻効率は (7.1) 式のようになり、この式から模型試験の尺度影響について諸々各自の得た結論と同じものが得られる。
- iii) 公称伴流と有効伴流の差について Pahl はフローベラ翼の幾何学的形状に關係するという。この説によれば公称伴流かフローベラ面で一様な時に差があることはないが、このより下の時でも Malal によれば差があると言う。
- iv) 前項の両説の差は従来の理論ではフローベラが同じ推力を出しいる時は船の後でも單独翼とすると、誘導速度は同じであるとするに対し、Malal は船の後では単独翼より少くする所にある。すなわちフローベラの無限後方の端面と同じ場所と併せ单独フローベラを考えるとその推力は有効推力に等しくなければならない。又直徑は約 $\sqrt{10}$ 倍小さくされてもトルクが等しいはずである。この單独フローベラの前に船があると伴流の為に翼の水流に対する迎え角がふえて推力がふえる見掛け上、カキユレーションが増える事はむろんだが、元のフローベラと同じ大きさにしておると、後方で同じ場所と併せてある。でありますとその為にカキユレーションは關係なく推力を増しておりそれが船の抵抗増加と打ち合っている事情が理解出来る。この考察から翼面上の誘導速度は無限後方の対応する端面上のそれの半分にはる事が推論される。

以上は簡単ではあるが従来の定説と最近の研究の成果を比較検討して結果を記して諸家の批判を仰ぐ次第である。

参考文献

- 1) R. Fresenius ; Schiffbau , 23 Jg. (1921)
- 2) F. Horn ; T. N.E.C.I.E.S vol.54 (1937-8).
- 3) J. E. Dickemann ; Ingenieur Archiv Bd. 9 (1938)
- 4) " ; J. S. T. G. Bd. 40 (1939)
- 5) W.P.A. van Lammeren ; "Resistance, Propulsion and Steering of Ships" Holland (1948)
- 6) H. Lerbs ; T. S.N.A.M.E. vol. 60 (1952)
- 7) J. D. van Manen and L. Troost ; " " "
- 8) J. D. van Manen ; I. S. P. vol. 2 (1955)
- 9) H. E. Saunders ; "Hydrodynamics in Ship Design" vol. 2 (1957)
- 10) K. H. Pohl ; J. S. T. G. Bd. 55 (1961)
- 11) S. Tsakonas and W.R. Jacobs ; I. S. P. vol. 9 (1962)
- 12) K. H. Pohl ; Schiffstechnik Bd. 10 (1963)
- 13) Q. Wald ; J. S. R. vol. 9 No. 1 (1965)
- 14) S. Goldstein ; "Modern developments in Fluid Dynamics" vol. 1 Dover Pub. (1965)
- 15) 山県昌夫 ; "船型学" (推進篇) 天然社 昭和27年
- 16) 西山哲男 ; 造船協会論文集 89号 (昭和30年9月)
- 17) 田村欣也 ; "船の科学" 昭和39年5月号
- 18) 造船研究協会報告 31号 (昭和35年11月)
- 19) 谷口中 ; 造船協会論文集 113号 (昭和38年6月)
- 20) H. B. Helmbold ; Schraubenzug und Nachstrom, W.R.H. 1938



第2回

